

Berechnung der Gelenkwinkel bei gegebener Lage und Orientierung des TCP (Inverse Funktion der Vorwärtskinematik)

Anzahl der Lösungen:

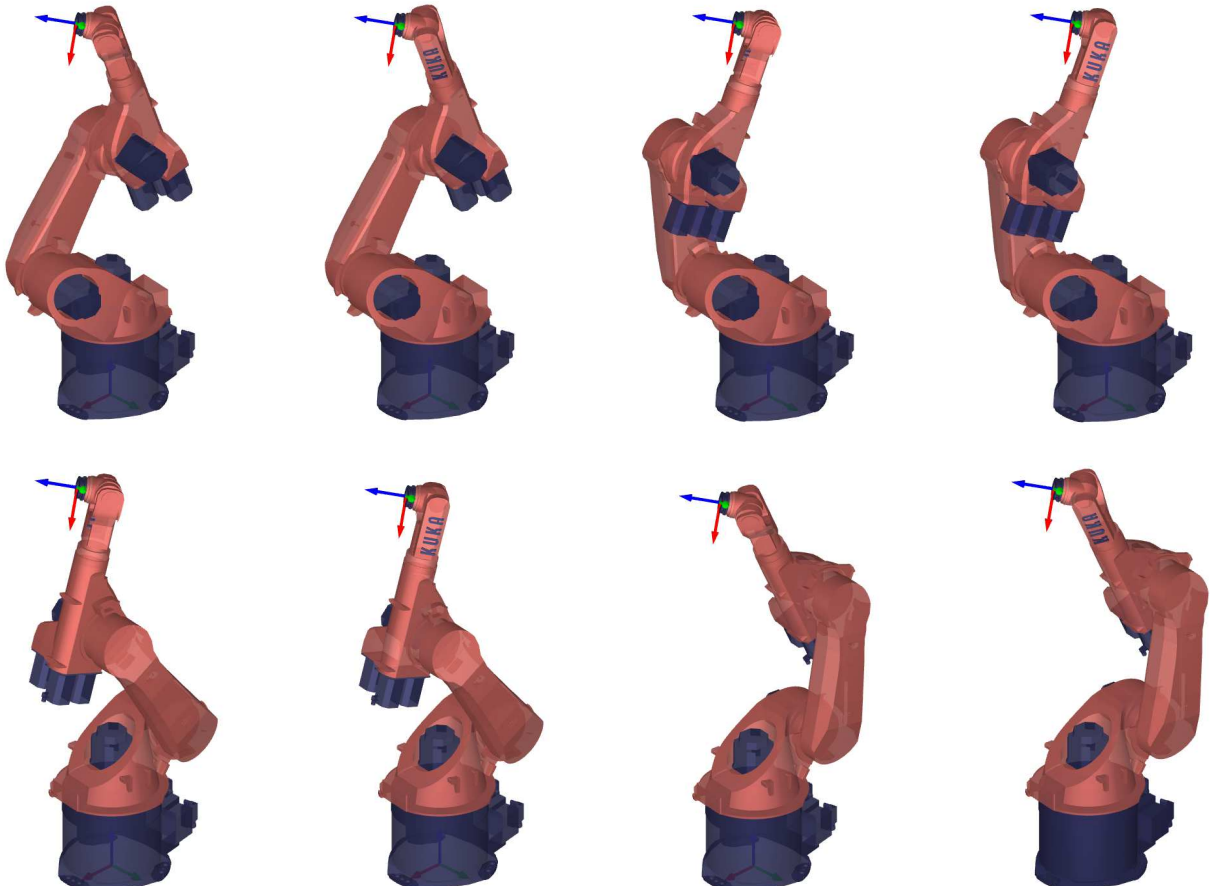
keine

genaue eine

mehrere

unendlich viele

## Rückwärtskinematik



## Ansätze für Rückwärtskinematik:

geometrisch  
algebraisch  
numerisch

} analytisch

## Numerische Lösung

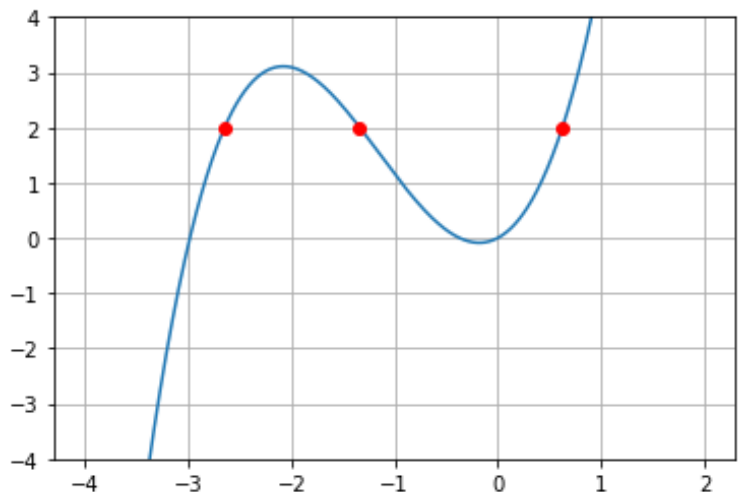
### Einfaches mathematisches Beispiel

Gegeben ist eine nicht-lineare Funktion  $f(x)$

Gesucht ist der Wert  $x$ , für den gilt  $f(x) = p$

also die Inverse Funktion  $x = f^{-1}(p)$

$$f(x) = \sin(x) + x^3 + 3x^2 = 2$$

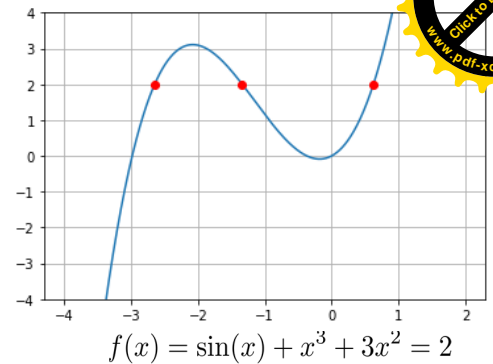


## Formulierung als Nullstellensuche

$$\sin(x) + x^3 + 3x^2 - 2 = 0$$

Verwendung eines numerischen Verfahrens für die Nullstellensuche

**Achtung:** Welches Verfahren geeignet ist, kann nicht allgemein beantwortet werden!  
Die Theorie hierfür reicht für eine eigene Vorlesung!



Die gefundene Lösung hängt von dem gewählten Startwert ab.

## Rückwärtskinematik

### Python

```
# gesucht: f(x) = 2 mit f(x) = sin(x) + x^3 + 3*x^2

from scipy.optimize import fsolve
import numpy as np
import matplotlib.pyplot as plt

x = np.arange(-4, 2, 0.01)

def f(x):
    return np.sin(x) + x**3 + 3*x**2

y = f(x)

plt.plot(x, y)
plt.ylim((-4, 4))
plt.grid()

def func(x):
    return f(x) - 2

x0 = -3
sol1 = fsolve(func, x0)
print(sol1)
plt.plot(sol1, f(sol1), 'ro')

x0 = -1
sol2 = fsolve(func, x0)
print(sol2)
plt.plot(sol2, f(sol2), 'ro')

x0 = 5
sol3 = fsolve(func, x0)
print(sol3)
plt.plot(sol3, f(sol3), 'ro')
```

## Numerische Lösung für die Rückwärtskinematik

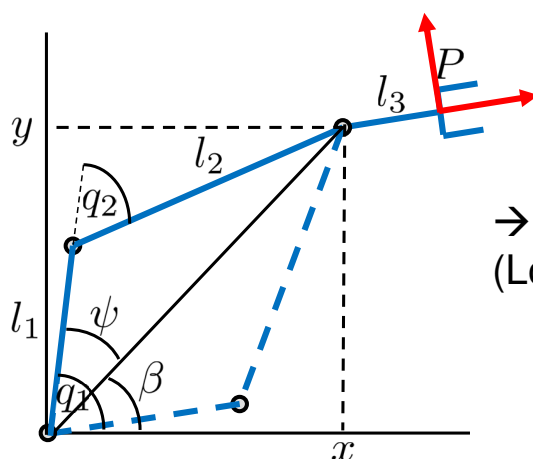
Gesucht sind die Gelenkwinkel  $q$  bei gegebener Pose  $p$  des TCP

Formulierung als (6-dimensionale) Nullstellensuche

$$FK(q) - p = 0$$

## Rückwärtskinematik

### Geometrische Lösung bei 3 parallelen Achsen



gegeben:  $x_P, y_P, \phi$

→ Berechnung von  $x, y$  möglich  
(Lösung für Achse 1, 2 zuerst)

mehrere Positionen möglich

### Kosinussatz für Winkel 2

$$x^2 + y^2 = l_1^2 + l_2^2 - 2l_1l_2 \cos(180^\circ + q_2)$$

( $q_2$  ist für die erste Lösung negativ, daher  $180^\circ + q_2$ )

## Winkel 2

$$\cos(q_2) = \frac{x^2 + y^2 - l_1^2 - l_2^2}{2l_1l_2}$$

Lösung existiert nur, wenn  $x^2 + y^2 \leq l_1 + l_2$

Winkel 1 über Hilfswinkel  $q_1 = \beta + \psi$  für  $q_2 < 0$

mit  $\beta = \text{atan2}(y, x)$

$$\cos(\psi) = \frac{x^2 + y^2 + l_1^2 - l_2^2}{2l_1\sqrt{x^2 + y^2}} \quad 0 \leq \psi \leq 180^\circ$$

Zweite Lösung ( $q_2$  dreht entgegengesetzt)

$\rightarrow -q_2$

$q_1 = \beta - \psi$  für  $q_2 > 0$

## Winkel 3 über

$$q_1 + q_2 + q_3 = \phi$$

Eine analytische Lösung kann bei Robotern mit Standardkinematik gefunden werden.

Voraussetzung: 3 Achsen schneiden sich in einem Punkt  
(meist Handachsenschnittpunkt)

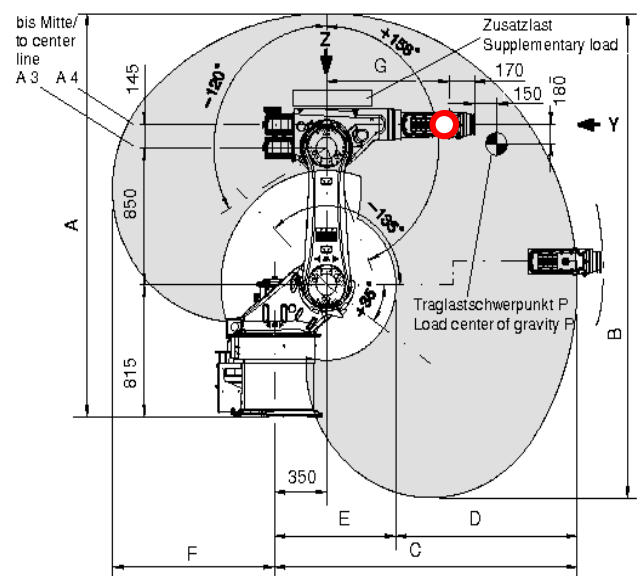
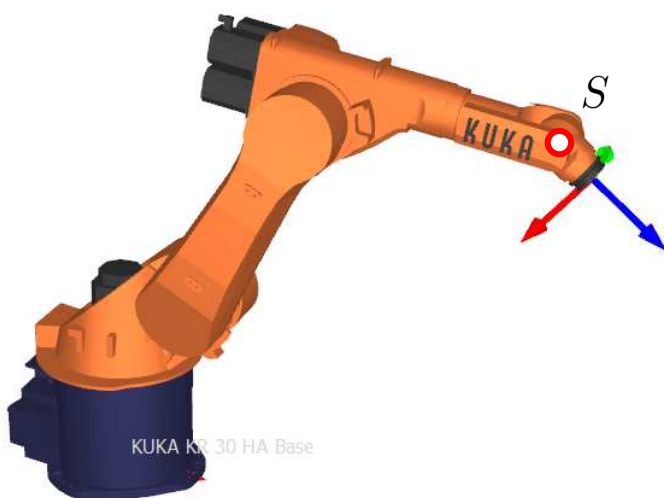
(oder: drei aufeinanderfolgende Achsen sind parallel)

Vorgehen:

1. Berechne Lage (x,y,z) des Handachsenschnittpunkts S
2. Berechne ersten drei Gelenkwinkel aus Lage von S
3. Berechne letzten drei Gelenkwinkel aus Orientierung

## Rückwärtskinematik

### Handachsenschnittpunkt S



## Detaillierte Rückwärtskinematik am Beispiel KUKA-Roboter

Gegeben ist  $x, y, z, A, B, C$  des TCP

→ Berechnung von  ${}^0T_6$

Schnittpunkt S

Koordinaten von S im System 6

$${}^6\tilde{s} = \begin{bmatrix} 0 \\ 0 \\ -170 \\ 1 \end{bmatrix}$$

Koordinaten von S im System 0

$${}^0\tilde{s} = {}^0T_6 {}^6\tilde{s}$$

### Winkel Achse 1

(Sicht von oben)

$$q_1 = -atan2({}^0s_y, {}^0s_x)$$

Anpassung der Drehrichtung für KUKA Achse 1

Zweite Lösung: (front / rear oder left / right)

$$q'_1 = q_1 - \pi$$

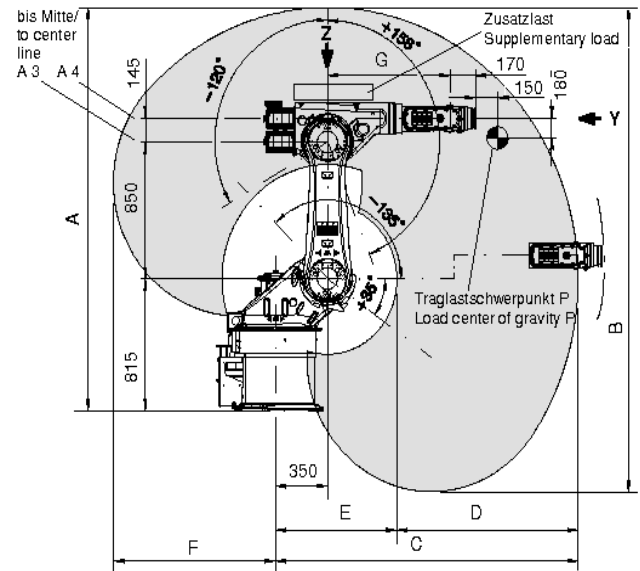
## Hilfskoordinatensystem H

(in Achse 2 verschoben und um  $q_1$  gedreht  $\rightarrow$  ebenes Problem in x-z-Ebene)

$${}^0T_H = \text{Rot}_z(-q_1) \cdot \text{Transl}(350, 0, 815)$$

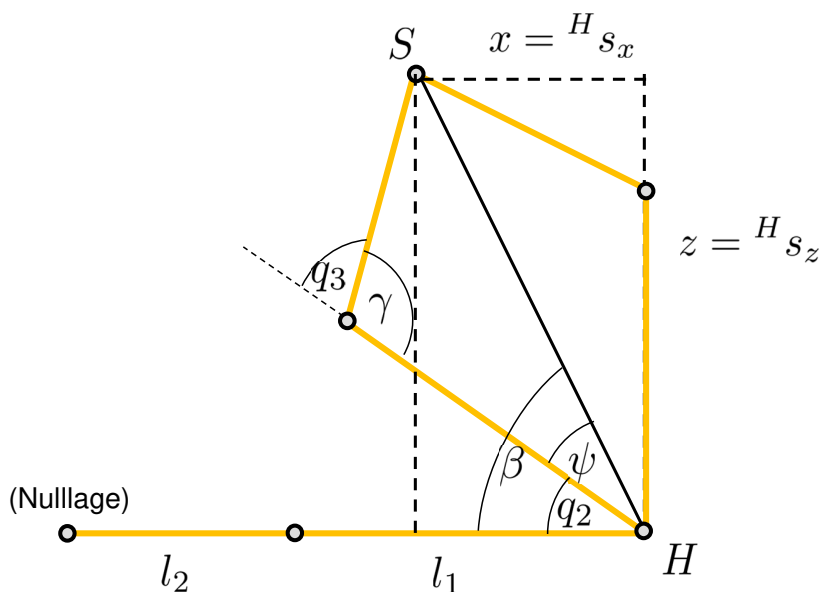
Koordinaten von S im System H

$${}^H\tilde{s} = {}^HT_0 {}^0\tilde{s} = ({}^0T_H)^{-1} {}^0\tilde{s}$$



## Rückwärtskinematik

Geometrische (Teil-) Lösung für zwei parallele Achsen (ohne Offset)



Kosinussatz

$$x^2 + z^2 = l_1^2 + l_2^2 - 2l_1l_2 \cos(\gamma)$$



## Winkel Achse 3

$$\cos(\gamma) = -\frac{x^2 + z^2 - l_1^2 - l_2^2}{2l_1l_2}$$

Zwei Lösungen (elbow up / down):

$$q_3 = \pi - \gamma$$

$$q'_3 = -q_3 = -\pi + \gamma$$

## Winkel Achse 2

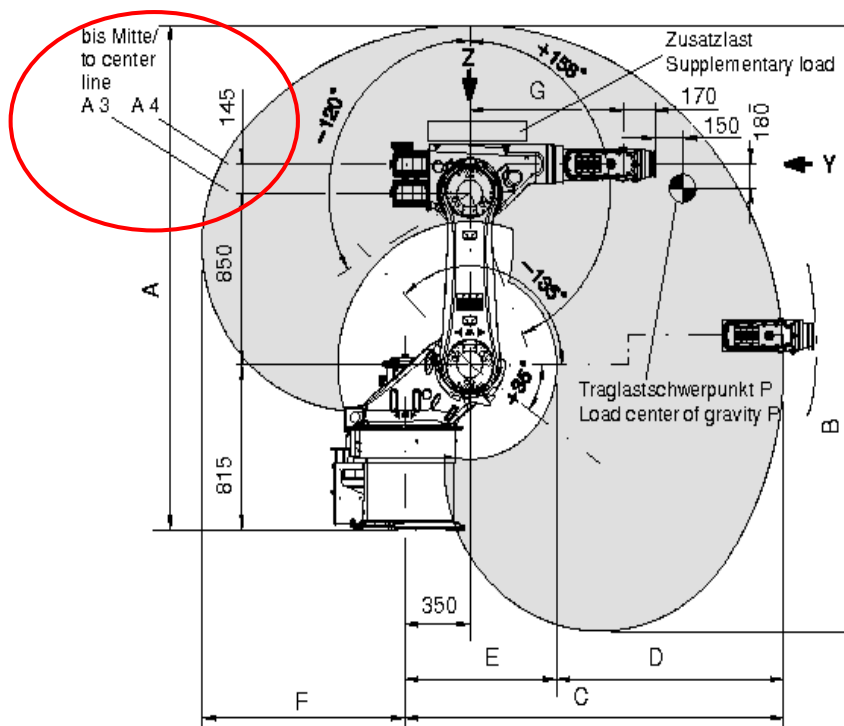
$$\beta = \text{atan2}({}^H s_z, {}^H s_x)$$

$$\psi = \text{acos}\left(\frac{x^2 + z^2 + l_1^2 - l_2^2}{2l_1\sqrt{x^2 + z^2}}\right)$$

$$q_2 = \psi \pm \beta$$

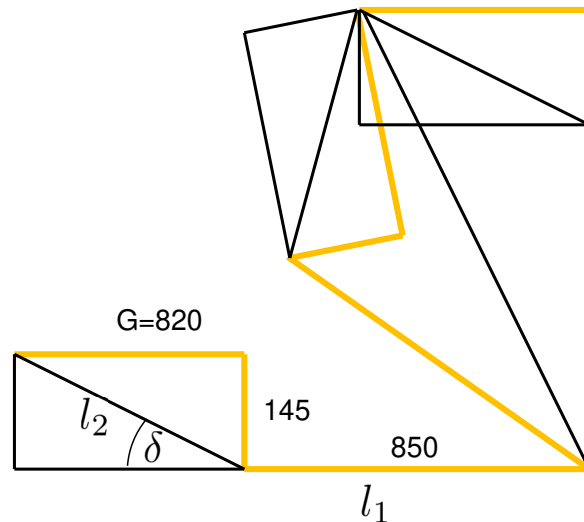
## Rückwärtskinematik

Bei manchen Roboterherstellern muss ein Offset berücksichtigt werden



|             | A    | B    | C    | D    | E   | F    | G    |
|-------------|------|------|------|------|-----|------|------|
| KR 30-3     | 2498 | 3003 | 2033 | 1218 | 815 | 1084 | 820  |
| KR 60-3     | 2498 | 3003 | 2033 | 1218 | 815 | 1084 | 820  |
| KR 60 L45-3 | 2695 | 3398 | 2233 | 1362 | 868 | 1283 | 1020 |
| KR 60 L30-3 | 2894 | 3795 | 2429 | 1445 | 983 | 1480 | 1220 |

## Geometrische (Teil-) Lösung für zwei parallele Achsen (mit Offset)



Länge  $l_2$  mit Pythagoras, Offset Winkel mit  $\text{atan2}$

Zwei Lösungen (elbow up / down):

$$q_3 = \pi - \gamma + \delta$$

$$q_3 = -\pi + \gamma + \delta$$

## Orientierung

Winkel Achse 4, 5, 6

$${}^3T_6 = {}^3T_0 {}^0T_6$$

$${}^3T_6 = \begin{bmatrix} r_{11} & r_{12} & r_{13} & x \\ r_{21} & r_{22} & r_{23} & y \\ r_{31} & r_{32} & r_{33} & z \\ 0 & 0 & 0 & 1 \end{bmatrix}$$

aus DH-Parametern folgt

$${}^3T_6 = {}^3T_4 {}^4T_5 {}^5T_6$$

$$R_6 = Rot_x(\alpha_3)Rot_z(\theta_4)Rot_x(\alpha_4)Rot_z(\theta_5)Rot_x(\alpha_5)Rot_z(\theta_6)$$

$${}^3R_6 = Rot_x(-90^\circ)Rot_z(-q_4)Rot_x(90^\circ)Rot_z(q_5)Rot_x(-90^\circ)Rot_z(-q_6 + 180)$$

$${}^3R_6 = \begin{bmatrix} c_4 & s_4 & 0 \\ 0 & 0 & 1 \\ s_4 & -c_4 & 0 \end{bmatrix} \begin{bmatrix} c_5 & -s_5 & 0 \\ 0 & 0 & -1 \\ s_5 & c_5 & 0 \end{bmatrix} \begin{bmatrix} -c_6 & -s_6 & 0 \\ 0 & 0 & 1 \\ -s_6 & c_6 & 0 \end{bmatrix}$$

$${}^3R_6 = \begin{bmatrix} s_4s_6 - c_4c_5c_6 & -s_4c_6 - c_4c_5s_6 & -c_4s_5 \\ -s_5c_6 & -s_5s_6 & c_5 \\ -c_4s_6 - s_4c_5c_6 & c_4c_6 - s_4c_5s_6 & -s_4s_5 \end{bmatrix}$$

## Winkel Achse 5

$$q_5 = \pm \arccos(r_{23})$$

Zwei Lösungen (non-flip / flip)

$$s_5 = \sin(q_5)$$

## Winkel Achse 4

$$q_4 = \text{atan2}(-r_{33}/s_5, -r_{13}/s_5)$$

## Winkel Achse 6

$$q_6 = \text{atan2}(-r_{22}/s_5, -r_{21}/s_5)$$

# Detaillierte Rückwärtskinematik am Beispiel Universal Robots

Gegeben ist  $x, y, z, r_x, r_y, r_z$  des TCP

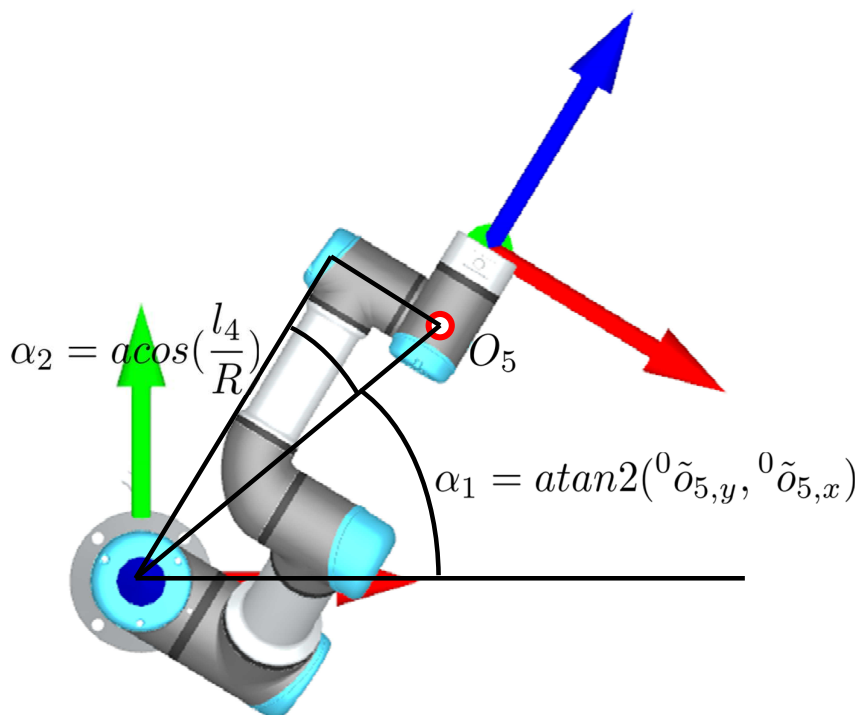
→ Berechnung von  ${}^0T_6 = \begin{bmatrix} r_{11} & r_{12} & r_{13} & x \\ r_{21} & r_{22} & r_{23} & y \\ r_{31} & r_{32} & r_{33} & z \\ 0 & 0 & 0 & 1 \end{bmatrix}$

Ursprung O5 des System 5

Koordinaten von O5 im System 6  ${}^6\tilde{o}_5 = \begin{bmatrix} 0 \\ 0 \\ -l_6 \\ 1 \end{bmatrix}$

Koordinaten von O5 im System 0  ${}^0\tilde{o}_5 = {}^0T_6 {}^6\tilde{o}_5$

## Rückwärtskinematik



## Winkel q1

$$\alpha_1 = \text{atan2}({}^0\tilde{o}_{5,y}, {}^0\tilde{o}_{5,x})$$

$$R = \sqrt{{}^0\tilde{o}_{5,x}^2 + {}^0\tilde{o}_{5,y}^2}$$

$$\alpha_2 = \text{acos}\left(\frac{l_4}{R}\right)$$

$$q_1 = \alpha_1 \pm \alpha_2 + \pi/2$$

## Winkel q5

$$s_1 = \sin(q_1), c_1 = \cos(q_1)$$

$$q_5 = \pm \text{acos}\left(\frac{xs_1 - yc_1 - l_4}{l_6}\right)$$

## Rückwärtskinematik

## Winkel q6

$$s_5 = \sin(q_5), c_5 = \cos(q_5)$$

$$q_6 = \text{atan2}\left(\frac{-r_{12}s_1 + r_{22}c_1}{s_5}, \frac{r_{11}s_1 - r_{21}c_1}{s_5}\right)$$

Berechnung von q2, q3, q4 über ebenes Problem mit drei parallelen Achsen

$${}^1T_4 = {}^1T_0 {}^0T_6 {}^6T_5 {}^5T_4$$

Details siehe Paper:

Kelsey P. Hawkins: „Analytic Inverse Kinematics for the Universal Robots UR-5/UR-10 Arms”, 2013

<http://hdl.handle.net/1853/50782>